

首都公团 正会員 中川誠志  
首都公团 正会員○黒原一郎

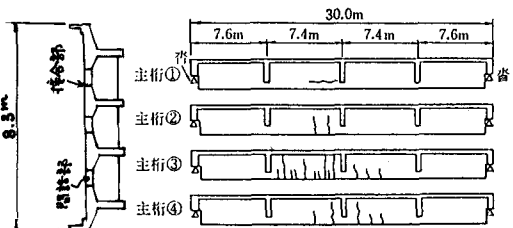
## 1.はじめに

損傷の与られるPCT橋梁の補強に際し、事前におこなった静的載荷試験結果と計算結果との比較から損傷の程度を把握し、アウトケーブルを補強をおこなった例について述べる。

## 2.主桁目視調査

昭和39年に供用された、 $210 \times 30\text{m}$ 、幅員8.3mの4主桁からなるPCTボルティン型橋を目視調査をおこなった。

目視調査結果を図-1に示す。その結果主桁3、主桁4に $0.05\text{mm} \sim 0.2\text{mm}$ のひびわれが比較的多く発生している。なおシユミットハンマーによる圧縮強度は $510 \sim 560\text{kg/cm}^2$ で設計圧縮強度 $450\text{kg/cm}^2$ を上回るといえる。

図-1 主桁のひびわれ ( $0.1\text{mm}$  以上)

## 3.載荷実験概要

総重量20tのダンプトラックによる静的載荷をおこなった。歪ゲージは、主桁下縁より5cm上方、及び床版ハンチより5cm下方の主桁両側に貼付け、支間中央部に着目して計測した。また計測は、ダンプトラック載荷位置及び台数を変え7caseのデータを各主桁より得た。

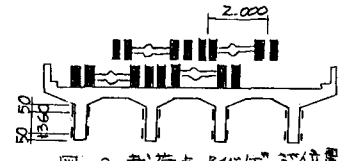


図-2 載荷点、ひびわれ位置

## 4.構造モデルの選抟

補強前の橋梁構造機能を把握する目的で、横軸・床版の剛剛性分配機能を図-3に示す3タイプに変化させた計算結果と載荷実験測定値を比較し、ためみ・主桁回転回数が一致する構造モデルを探ることにした。

その結果、主桁3と4の横軸・床版の横方向連結機構を併せ結合とした、 $\pm 17^\circ 3$ のモデルが比較的よく一致した。

モデル図	タイプ	測定値との比較
主桁1 主桁2 主桁3 主桁4	タイプ1 床版を横筋として考慮	△側方回転角性状が全く異なる。 ○側観測した場合のわみ性状が異なる。
	タイプ2 全ての横筋・床版に次筋がある。	○側観測した場合のわみ性状が異なる。
	タイプ3 床版・横筋の一部に次筋がある。	△たわみ、側方向回転角の性状は比較的よく一致する。

## 5.荷効果の検討

空載荷実験の荷重条件に対応する計算曲げモーメントと実験測定値の関係を主桁3、桁中央におけるものと図-4に示す。この計算に使用する構造モデルは $\pm 17^\circ 3$ である。

図-4の関係を模式図に表めると右図のようになる。

主桁下縁のひずみと曲げモーメントの関係は、ひびわれが生じてなければ $\epsilon = \frac{M}{EI_y}$ を係数とする一次式 $\epsilon = \frac{M}{EI_y}$ と表わせる。模式図で $M_0$ 以下の曲げモーメントは下縁に圧縮応力が作用しており、ひずみが正常に伝達されない範囲である。また $M_0$ 以上の曲げモーメントでは下縁に引張り応力が生じ、ひびわれにひずみが吸収され正常に伝達されない範囲であると考えられる。

つまり曲げモーメント $M_0$ で、下縁応力度が圧縮域から引張り域に変化する点で、そのときの応力度は0である。

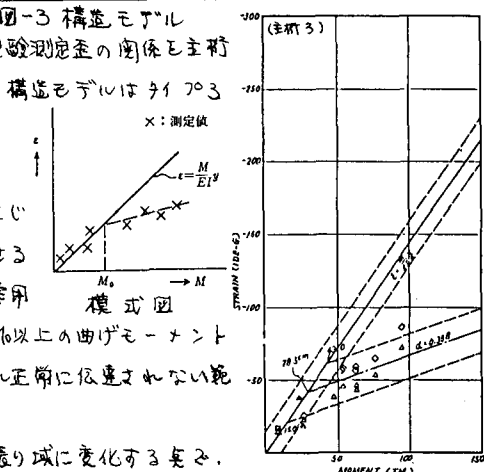


図-4 計算モードと測定値

この仮定より、有効プレストレス量を推定すると(1)式の関係が成立する。

$$- \sigma_a - \sigma_0 + P_t \left( \frac{1}{A} + \frac{E_p}{I} y_m \right) = 0 \quad \text{--- (1)}$$

$$\therefore P_t = \frac{\sigma_a + \sigma_0}{\frac{1}{A} + \frac{E_p}{I} y_m}$$

ここで、 $P_t$  = 有効プレストレス量

$\sigma_a$  = 下縁ひずみ計位置での死荷重応力

$\sigma_0$  = " M0による応力

A = 断面積

I = 断面二次モーメント

$E_p$  = 立軸から鋼材重心までの距離

$y_m$  = 立軸から下縁ひずみ計位置までの距離

(1)式によると算定された推定有効プレストレス量を表-1に示す。

表-1

主桁	推定プレストレス(t)	設計プレストレス(t)*	推定/設計
1	285	314.5 t	0.91
2	280	"	0.89
3	240	"	0.76
4	255	"	0.81

その結果、損傷が最も大き

いと思われた

主桁3で、24

%程度の有効プレストレス量の不足が考えられる。

## 6. 補修設計必要プレストレスの決定

補修に必要なプレストレス量は、

①載荷実験により算出したプレストレス不足分。

②設計は、10~ミヤレプレストレス状態で設計されており、フルプレストレス状態と補修における差分。

③補修による増加荷重分。以上の3項目を合算した量とする。その必要プレストレス量を表-2に示す。

主桁3で計算された合計値 120 t (±119 t) を導入緊張力とし、これを各主桁当たり4本のF50Tタイブルを緊張した。そのタイプの配置図を図-5に示す。

アウトケーブルの配置は、柱端部附近に複数PCケーブルが集中しており、走行が複雑なことより、柱間の1/4付近とした。

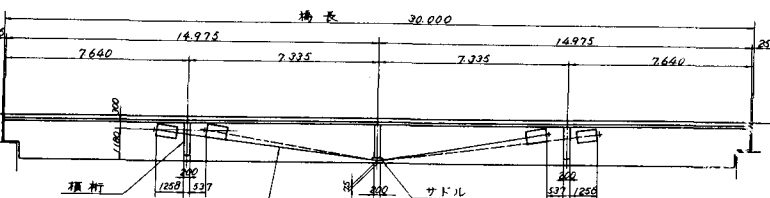


図-5 タイブル配置図

### 7. アウトケーブルの走行

アウトケーブルの走行は鋼製ブ

ラケットを用いておこなった。

ブラケットはウエブにΦ50 A

貫通孔を設け、PC鋼索(SBP

R 95/100)Φ32, 8本を1本当り

30tを緊張し走行した。

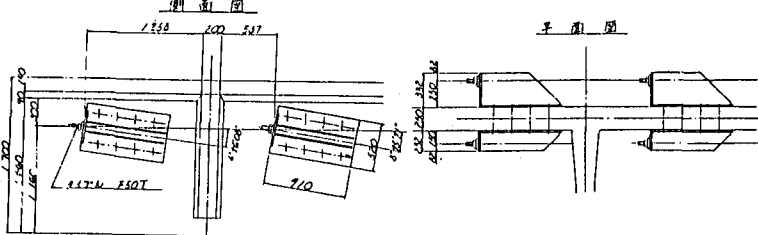


図-6 鋼ブランケット取付図

なお、実施工に際しては、走行

部の模型実験により耐力試験をおこなった。その結果と併せて最終耐力を確認した。コンクリートウェブ内に配置されたケーブル及びスチーラップ筋位置とX線によると確認し損傷を与えないよう配慮し施工した。

### 8. 導入応力度の確認

表-2より、補修必要プレストレス量120t導入

することにより、計算桁下縁応力度は  $82.4 \text{ kg/cm}^2$  となる。これを確認する意味で、ケーブル緊張前

後にひずみゲージによる応力測定をおこなった。表-3に主桁3の桁中央下縁での計算応力度と測定応力度を示す。この結果  $72.4 \text{ kg/cm}^2$  を得たが、計算応力度より  $10 \text{ kg/cm}^2$  下回るといふ。この差は、実験と計算値断面と入違ひ(断面形状への寄与率の評価)等が考えられ、實際12t。補修に必要なプレストレス量は導入されたものと考えられる。

表-3

	死荷重	活荷重	有効荷重(±12t)	増加荷重	補修プレストレス	合計
計算応力度	-195.0	-79.5	185.7	-13.6	82.4	0.4
測定値					72.4	